

## (700) Fe-Cr-Ni系耐熱金剛のd電子合金設計法による評価

豊橋技術科学大学 工学部 ○江崎尚和 森永正彦  
湯川夏夫

**目的** 筆者らの開発した耐熱合金のd電子合金設計法のFe基合金への適用例として、従来多くの研究がなされていいるFe-Cr-Ni系耐熱金剛に本法による評価を行なった。また、この結果を基に、本系合金の基本的な合金設計指針について検討した。

**方法** 本系合金の基本となるFe-Cr-Ni 3元系状態図、および25Cr-20Niを

基本とする実用材(HK40)ならびに実験合金総計127種の実験結果につき、

$$\overline{Md} = 1.9 \cdot X_{Si} + 0.957 \cdot X_{Mn} + 1.142 \cdot X_{Cr} + 0.717 \cdot X_{Ni} + 0.858 \cdot X_{Fe} \text{ (eV, 以下省略)} \cdots (1)$$

$$\overline{Nv} = 6.66 \cdot X_{Si} + 3.66 \cdot X_{Mn} + 4.66 \cdot X_{Cr} + 0.66 \cdot X_{Ni} + 2.66 \cdot X_{Fe} \cdots (2)$$

ここで、Xは各元素の原子分率である。この他、各合金の結合次数(Bond Order, 以下BOと略す)による評価も試みた。

**結果** 1) Fig. 1 は各温度におけるFe-Cr-Ni 3元系状態図のY/Y+α境界を等 $\overline{Md}$ 線で示したものである。比較のためC)(1173K)に $\overline{Nv}=2.49$ の線が示してあるが、等 $\overline{Md}$ 線は相境界をはるかに良く近似している。 $\alpha$ 相の生成に対する臨界 $\overline{Md}$ 値( $\overline{Md}_c$ )は、多くのスルおよび3元系状態図より、温度T(K)のパラメータとして  $\overline{Md}_c = 6.25 \times 10^{-5} T + 0.834 \cdots (3)$  で表わされる。

2) Table I に示す組成範囲の合金計54種につき、40%冷間加工後1073Kで15,000h時効後の相安定性を $\overline{Md}$ および $\overline{Nv}$ で整理した結果をFig. 2 に示す。ここで、基礎組成はCのすべてが $Cr_{23}C_6$ を形成するとして計算した。Si量で分類すると、1.5% Si以下のA群合金における $\alpha$ 相生成の $\overline{Md}_c$ 値は0.900で、3元系状態図で得た値と一致している。これに対し、Si 1.5%以上のB群では、高 $\overline{Md}$ 値で $\alpha$ 相が生成しないものが多い。従来Siは $\alpha$ 相生成促進元素であると考えられているが、その量によってはCr-Si化合物(例えば $\sigma$ 相)が $\alpha$ 相に代り生成するなど、異った析出機構が働いているのではないかと考えられる。

$\overline{Nv}$ ではいずれの群も、この様な系統的な整理はつかず、 $\overline{Nv}_c$ による $\alpha$ 相判別は困難である。

3) Fig. 3 は本3元状態図中に原子間の結合の強さを示す等 $\overline{BO}$ 線を示したものである。本系では、3式で示される $\overline{Md}_c$ 以下で、 $\overline{BO}$ の高い方向に合金設計を行なえばよいと考えられる。

HK-40の $\alpha$ 相脆化に関するデータは、神戸製鋼中央研究所の提供による。

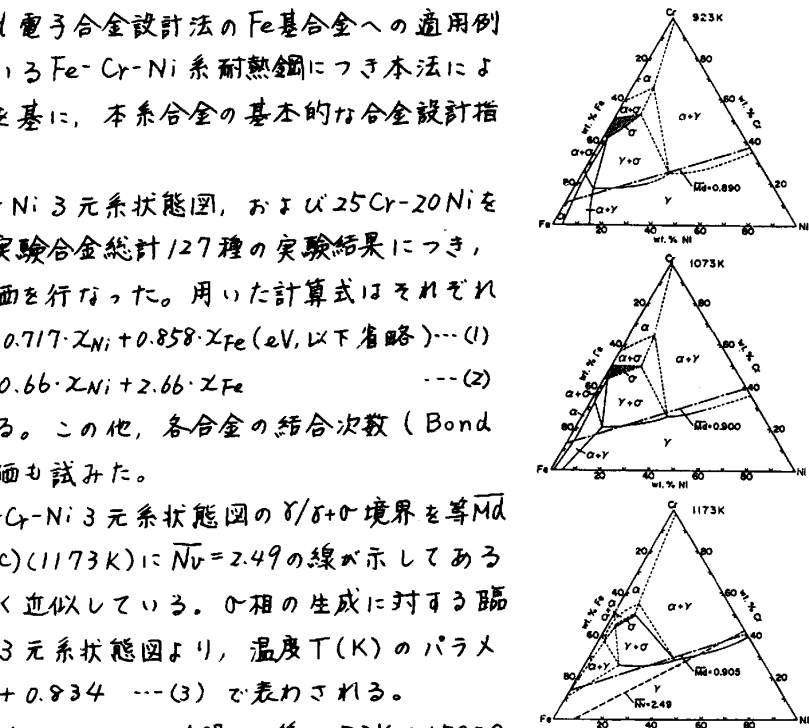


Fig.1 Fe-Cr-Ni phase diagrams (a)923K, (b)1073K and (c)1173K.

Table 1 Compositional range of Fe-Cr-Ni alloys examined.

	C	Si	Mn	Cr	Ni	Fe	Alloys
A	0.03	0.05	0.05	22.87	18.76	bal.	24
	-0.59	-1.50	-2.95	-25.37	~21.91		
B	0.16	1.50	0.93	15.23	19.25	bal	30
	~0.63	~2.16	~1.13	~31.55	~31.50		

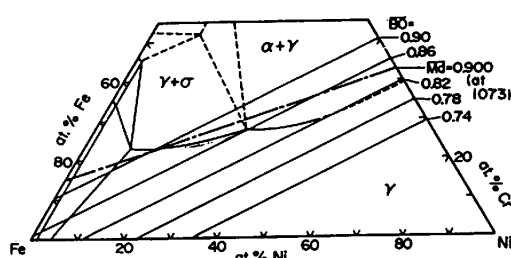


Fig.3 Iso- $\overline{BO}$  lines in the Fe-Cr-Ni system.

1)湯川他:学振123委研究報告, 22(1981), 45

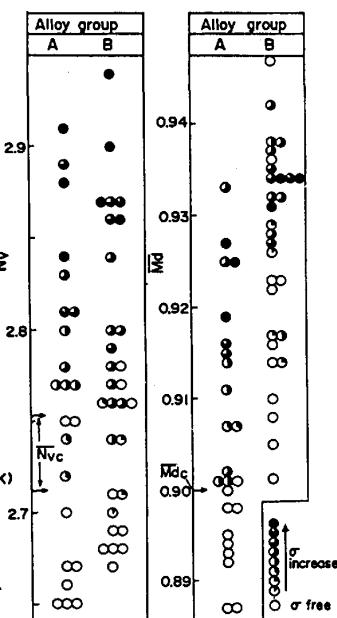


Fig.2 Phase stability of Fe-Cr-Ni alloys.